

# VIGILANCIA SINÓPTICA DE SUDAMÉRICA

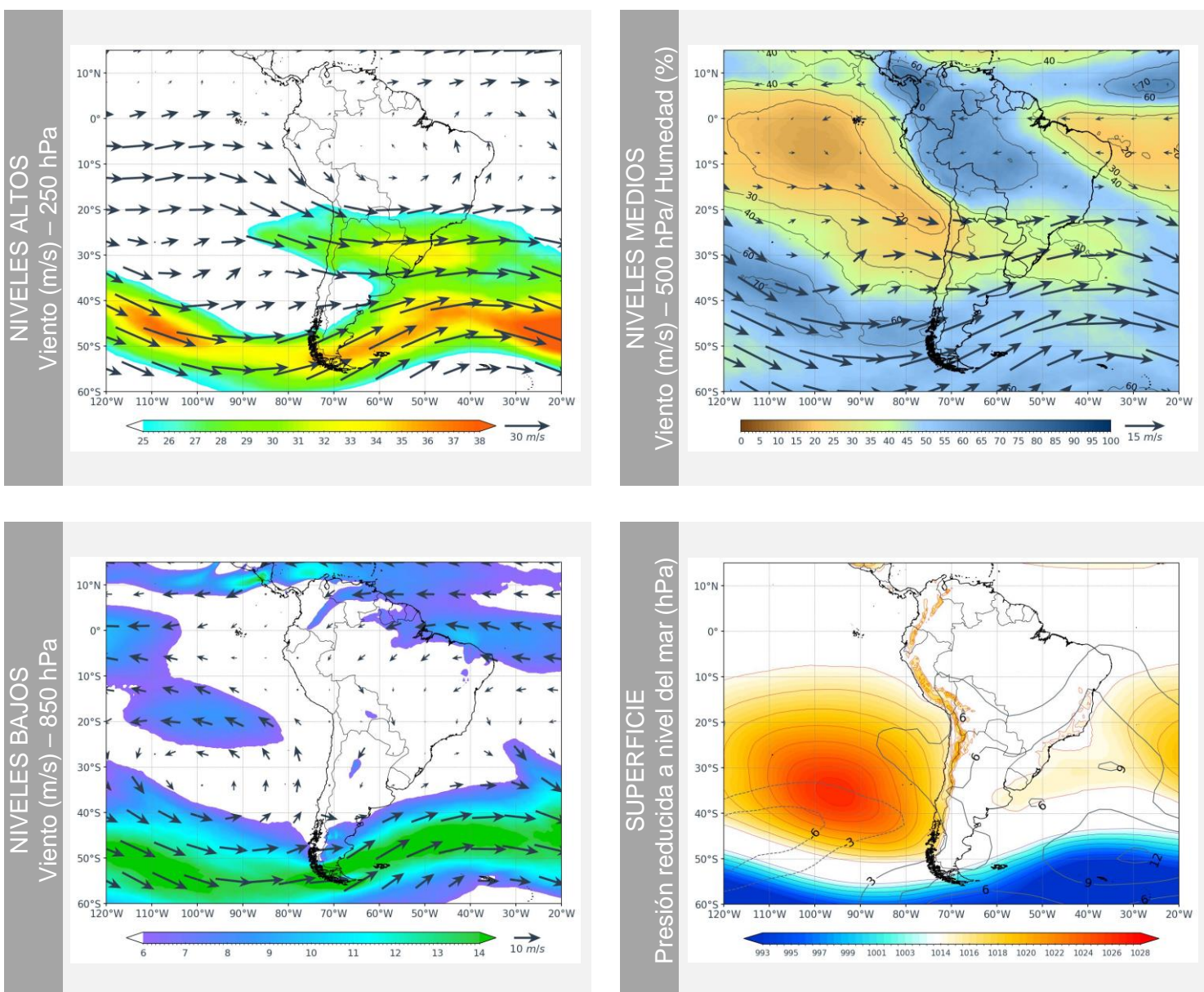


**INFORME  
NOVIEMBRE 2025**



**PRÓXIMO INFORME  
A ACTUALIZAR  
DICIEMBRE 2025**

# ANÁLISIS MENSUAL



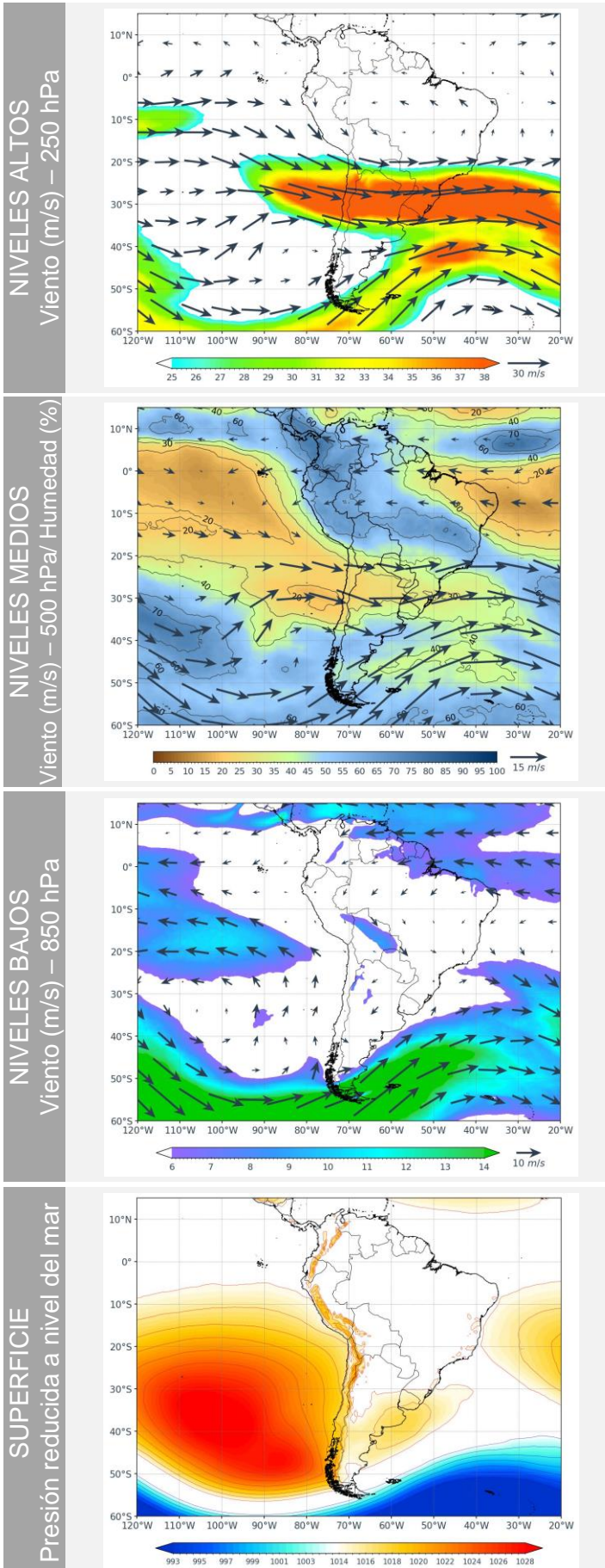
En noviembre, en niveles altos, predominaron vientos del oeste con una fuerte componente zonal, especialmente desde los 30°S hacia el sur. Se destaca la presencia del Jet Polar (JP) entre los 40°S y 60°S, alcanzando velocidades cercanas a los 30 m/s, mientras que el Jet Subtropical (JS) se presentó acoplado al ramal norte del JP sobre el sur y sudeste de Sudamérica, reforzando el flujo intenso en latitudes medias. La circulación estuvo modulada por la interacción entre dorsales y vaguadas de onda media. Este patrón refleja una transición estacional hacia el final de la primavera y el inicio del verano.

En niveles medios, se observa que gran parte de Sudamérica, especialmente sobre Perú, Brasil, Bolivia, Ecuador y Colombia, muestra un predominio de vientos del este, lo que sugiere un flujo de aire húmedo en esas regiones, favoreciendo la presencia de humedad elevada (60-70%). En el extremo sur del Perú, se puede notar una intrusión de aire seco. Desde los 25°S hacia el sur, dominan flujos del oeste, asociados a una vaguada sobre Chile y Argentina, lo que favorece la inestabilidad en esas áreas. Además, se identifican dos sistemas anticiclónicos: uno sobre el Pacífico, que refuerza la presencia de aire seco en el flanco occidental de Sudamérica, y otro al noreste de Brasil, que promueve movimientos descendentes y la advección de aire seco desde el Atlántico, manteniendo bajos contenidos de humedad, especialmente en esa región. Este patrón refleja la interacción entre zonas húmedas en el centro de Sudamérica y la presencia de aire seco en sus flancos, lo que genera una distribución de humedad no homogénea a lo largo del continente.

En niveles bajos (850 hPa), predominan los vientos del este sobre el norte de Sudamérica, transportando humedad desde el Atlántico hacia países como Brasil, Venezuela, Colombia y el centro de Sudamérica. Además, se observa un aumento en la velocidad del viento sobre Bolivia, Paraguay y Argentina, con valores cercanos a 11 m/s, lo que indica la presencia del Jet de Bajos Niveles (JBN), favoreciendo la inestabilidad en esas regiones. Este patrón contribuye a la formación de condiciones favorables para la nubosidad y precipitaciones en esas áreas. En superficie, el Anticiclón del Pacífico Sur (APS) presentó un núcleo en los 35°S y 95°W, desplazado ligeramente hacia el sur de su posición climática, con una intensidad de alrededor de los 1024 hPa (ligeramente más intenso respecto a su promedio); asimismo, el Anticiclón del Atlántico Sur (AAS), se presentó en su posición e intensidad climática.

# ANÁLISIS

## Primera decadiaria



En niveles altos se observó una circulación anticiclónica centrada entre Bolivia y Brasil, con flujo del oeste predominante hacia el Pacífico. Se observaron dos vaguadas, una en el Pacífico, frente al norte del Perú, que favoreció el transporte de humedad, ascensos y desarrollo de nubosidad convectiva sobre la sierra norte, y otra al centro-sur de Chile (45–50°S), la cual estuvo asociada a un sistema frontal que reforzó los vientos y precipitaciones en el sur. Entre 20°S y 40°S persiste el chorro subtropical (JS), acoplado al ramal norte del chorro polar (JP) desde 60°W, ambos con velocidades superiores a 38 m/s, intensificando la divergencia en altura y la organización de las ondas en la región.

En niveles medios, al norte de Sudamérica prevalecieron flujos de componente este que encajonaron la humedad (entre 60-70%) hacia Bolivia, Perú, Brasil, Ecuador, Colombia y Venezuela. Asimismo, se observó el reflejo de una vaguada marcada en el Pacífico frente a Chile, con curvatura ciclónica. El flujo en niveles medios presenta vientos intensos principalmente en el centro y sur del continente. Además, se identificaron dos circulaciones anticiclónicas en el Pacífico y Atlántico, asociados a condiciones más secas (entre 10-25%) y a subsidencia.

En superficie, el APS presentó una configuración meridional con núcleo en los 39°S y 100°W, con valores de presión alrededor de los 1024 hPa, más intenso con respecto a lo climático y desplazado hacia el suroeste. Asimismo, el AAS se mostró desplazado hacia el este y con valores de presión dentro de su promedio. Por otro lado, no se reflejó el paso de altas migratorias (AM). En niveles bajos, predominaron flujos de origen este sobre el noreste de Sudamérica, los que se desplazaron sobre la amazonia aportando humedad sobre la región norte y centro del continente, además, se presentó el incremento de la velocidad del viento sobre Bolivia con velocidades cercanas a 10m/s, reflejando la presencia del JBN, que favoreció al transporte de humedad y a la inestabilidad.

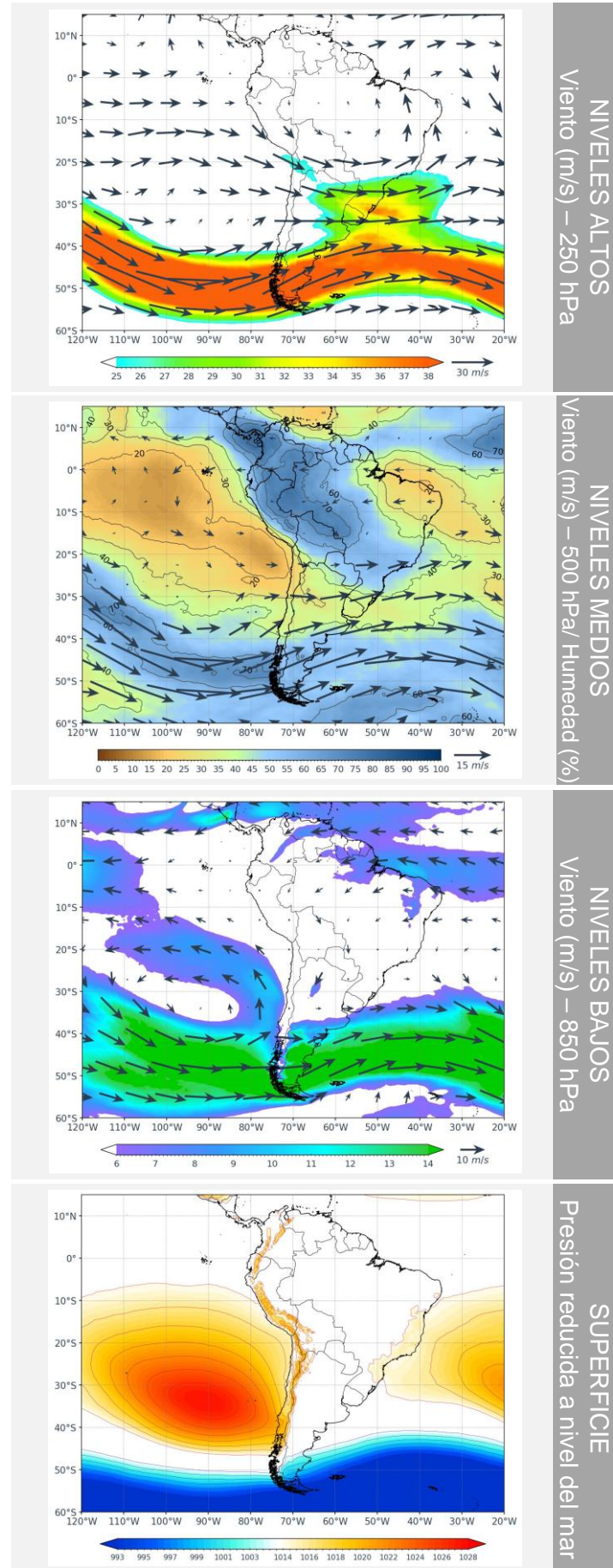
# ANÁLISIS

## Segunda decadiaria

En niveles altos predominó un fuerte JP con velocidades cercanas a 38 m/s entre 40°S y 55°S frente a la costa de Chile y sur de Argentina, asociado a una vaguada de latitudes medias que indica el paso de un sistema frontal. Además, se observa una vaguada más débil al norte, alrededor de 20°S, que genera ligera curvatura ciclónica del flujo del oeste. No se aprecia un JS claramente definido en esta zona. Ambos sistemas contribuyen a procesos de divergencia en altura y organización de ondas, reforzando la actividad dinámica sobre el sur y centro-sur del continente.

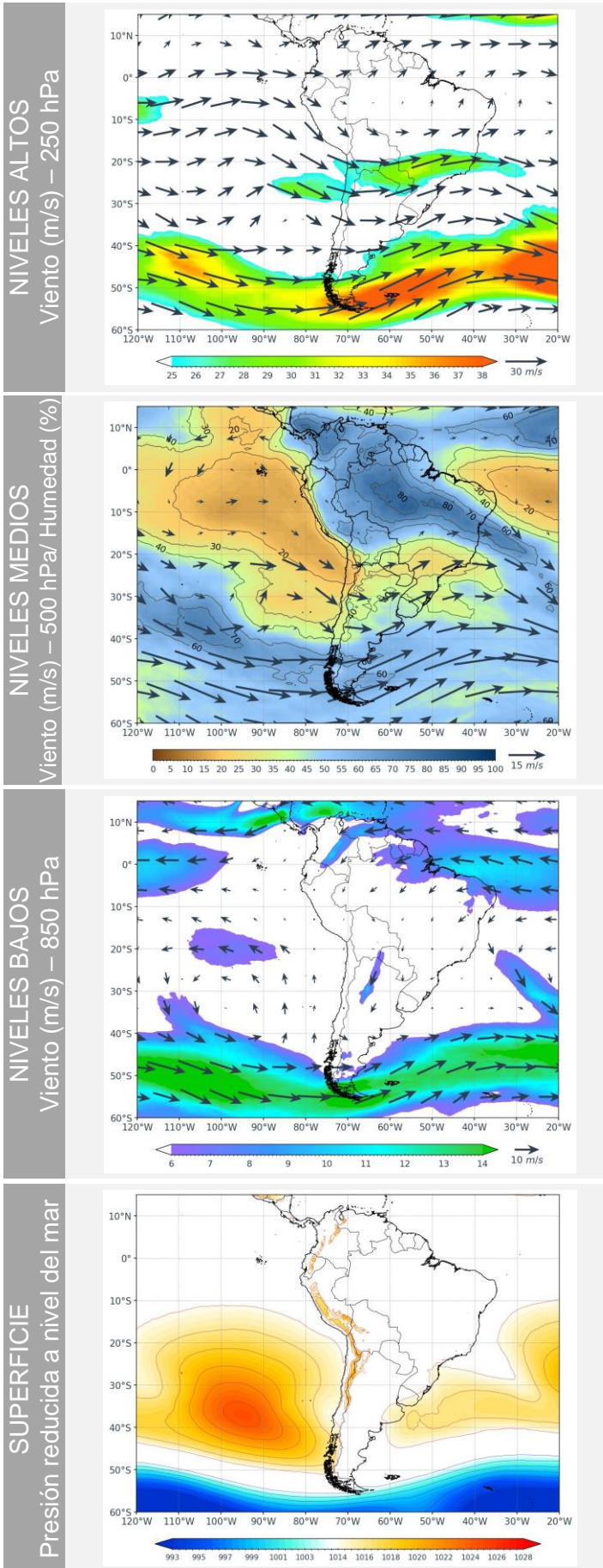
En niveles medios, gran parte del centro de Sudamérica mostró humedad elevada (60-70%), especialmente sobre Perú, Brasil, Bolivia, Ecuador y Colombia, debido al predominio de flujos de componente este; no obstante, se observó una intrusión de aire seco en el extremo sur del Perú. Desde los 25°S hacia el sur dominaron flujos del oeste asociados a una vaguada sobre Chile y Argentina, favoreciendo la inestabilidad. Asimismo, se identificaron dos sistemas anticiclónicos: uno sobre el Pacífico, que reforzó la presencia de aire seco en el flanco occidental de Sudamérica, y otro al noreste de Brasil, el cual promovió movimientos descendentes y advección de aire seco desde el Atlántico, manteniendo bajos contenidos de humedad principalmente en esa región.

En superficie, el APS presentó una configuración quasi meridional con núcleo en los 34°S y 92°W, con valores de presión próximos a los 1024 hPa, más intenso respecto al climático y desplazado hacia el sur. Asimismo, el AAS se desplazó hacia el este y con una intensidad ligeramente mayor a su promedio. En niveles bajos, predominó un flujo de componente este sobre el noreste de Sudamérica, el cual se extendió hacia la Amazonía y aportó humedad sobre la región norte y centro del continente. Al sur, se observó un aumento en la velocidad del viento sobre el norte de Argentina, con valores cercanos a 11 m/s, lo que favoreció el transporte de humedad hacia esa zona y contribuyó a condiciones más inestables, en interacción con los flujos que rodean la circulación frontal del sur del continente.



# ANÁLISIS

## Tercera decadiaria



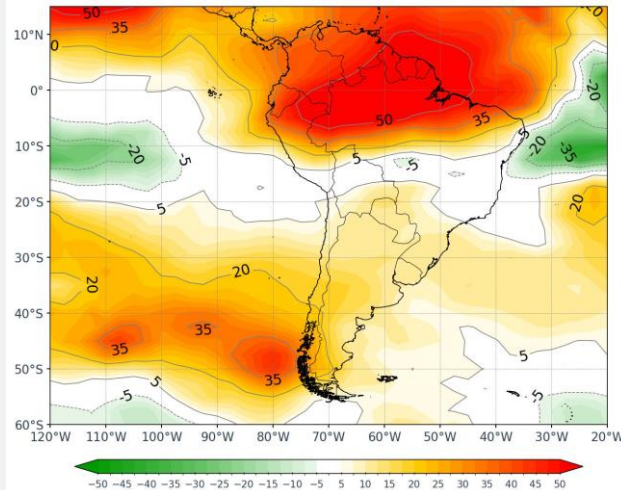
En niveles altos, se identificó la presencia de una vaguada frente a la costa del Perú, sobre el océano Pacífico. Asimismo, predominó un flujo del oeste desde los 10°N hasta los 60°S, con una marcada componente zonal al sur de los 30°S. Este patrón estuvo asociado a una onda de gran escala que presentó una vaguada bien definida sobre el sur de Chile y Argentina, favoreciendo y acentuando las condiciones de inestabilidad atmosférica en dicha región. Por otra parte, JS se localizó entre los 20° y 30°S, extendiéndose aproximadamente desde los 90°W hasta los 30°W, con velocidades menores en comparación con la primera y segunda decadiaria, alcanzando valores cercanos a 33 m/s. En tanto, el JP se posicionó más al sur, entre los 40° y 60°S, registrando velocidades máximas promedio del orden de 38 m/s.

En niveles medios de la atmósfera, al norte de Sudamérica predominó un flujo del este que favoreció el transporte de humedad, con valores de humedad relativa entre 60 y 80%, principalmente hacia Perú, Bolivia, Brasil, Colombia y Ecuador. Este patrón estuvo asociado a la influencia de una circulación anticiclónica sobre el océano Pacífico oriental y otra sobre el este de Brasil, las cuales contribuyeron a la persistencia de condiciones húmedas en la franja tropical del continente. Asimismo, al sur de los 10°S se observaron flujos dominantes del oeste, vinculados a una onda reflejada desde niveles altos, que presentó una vaguada extendida al norte de Chile y hacia el Pacífico adyacente. Esta configuración sinóptica favoreció la advección de aire más seco, con humedades relativas inferiores al 50%, sobre el centro-norte de Chile y Argentina, así como sobre Paraguay, Uruguay y el este de Brasil, limitando el desarrollo de nubosidad profunda en estas regiones.

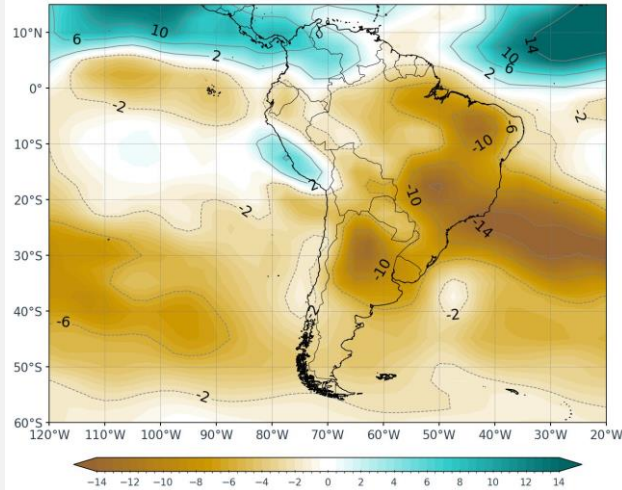
En superficie, el APS presentó una configuración zonal y núcleo en los 38°S y 95°W con valores de presión alrededor de los 1022 hPa, ligeramente intensificada con respecto al climático y con una configuración más zonal. Por otro lado, el AAS se desplazó ligeramente hacia el oeste de su posición climática y con una intensidad similar a su promedio. En niveles bajos, predominaron flujos de origen este sobre el noreste de Sudamérica, aportando humedad sobre el norte del continente, así también, se presentó un incremento de la velocidad del viento sobre Paraguay y el norte de Argentina, alcanzando velocidades cercanas a 11 m/s (reflejando la presencia del JBN) transportando condiciones de humedad e inestabilidad hacia esos sectores.

# ANÁLISIS MENSUAL

ANOMALÍA DE RADIACIÓN DE ONDA LARGA



ANOMALÍA DE AGUA PRECIPITABLE

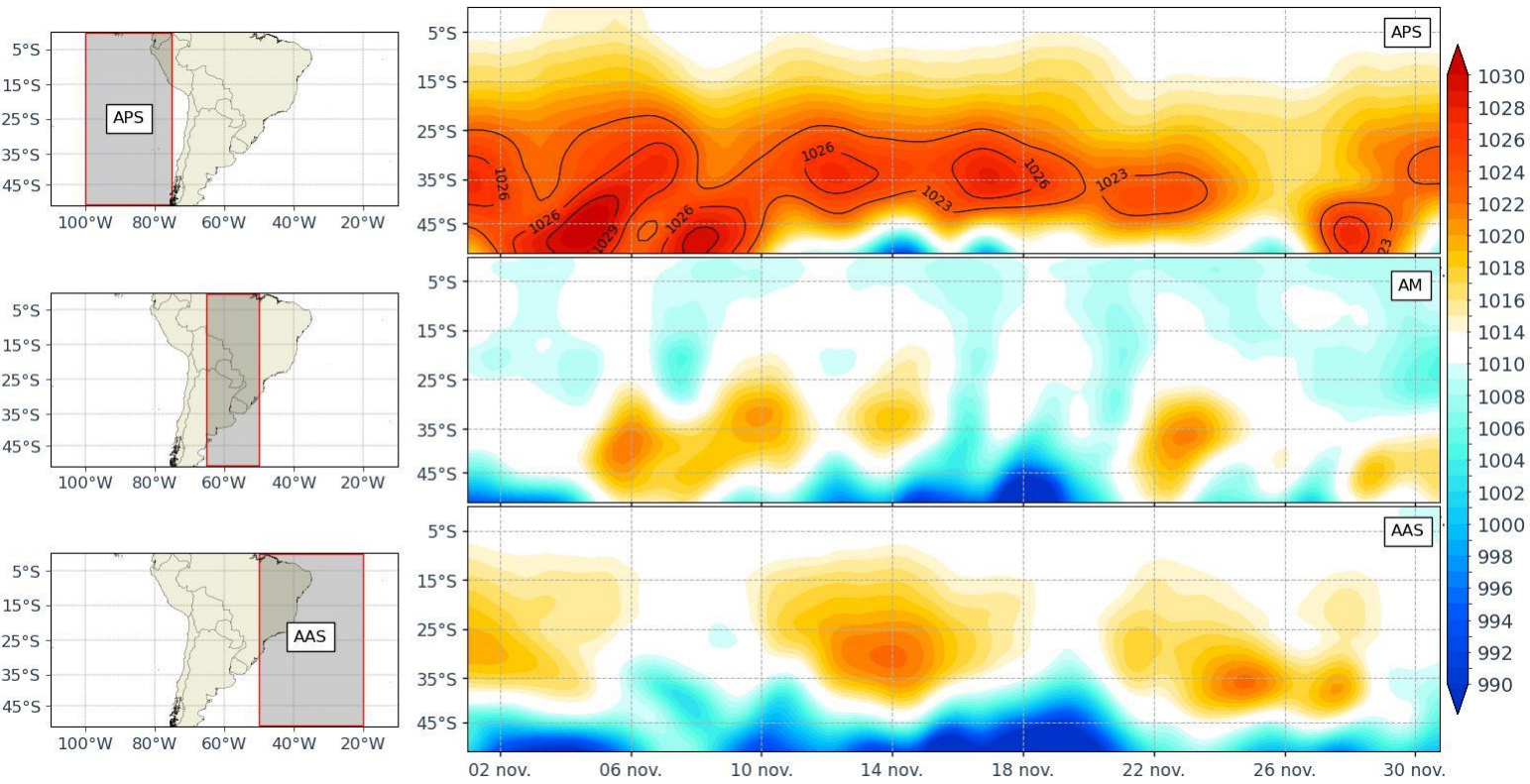


En noviembre, las anomalías de radiación de onda larga muestran valores positivos predominantes sobre el norte de Sudamérica, especialmente la Amazonía y Brasil, lo que indica menor nubosidad y actividad convectiva reducida. En contraste, se registran anomalías negativas en sectores del Pacífico oriental y áreas del centro-sur del continente, asociadas a mayor nubosidad y convección. En conjunto, el patrón refleja una supresión convectiva en la región tropical continental y una mayor actividad atmosférica en zonas oceánicas adyacentes, típica del periodo de transición estacional.

Durante noviembre, las anomalías mensuales de agua precipitable muestran un patrón contrastante en Sudamérica. Predominan anomalías negativas en gran parte del centro y sur del continente, especialmente en Brasil central, Paraguay, norte de Argentina y Chile central, indicando una disminución del contenido de humedad atmosférica y condiciones relativamente más secas de lo normal. En contraste, se registran anomalías positivas en el norte de Sudamérica y en zonas oceánicas cercanas, principalmente sobre el Pacífico ecuatorial oriental, lo que refleja una mayor disponibilidad de vapor de agua y un ambiente más húmedo. En la región andina, en particular en el sur del Perú y Bolivia, las anomalías son débiles o cercanas a la normal, mostrando un aporte de humedad limitado. En conjunto, el campo de anomalías evidencia un déficit de humedad en el interior del continente y un incremento en las regiones tropicales, consistente con la distribución observada.

# ANÁLISIS TEMPORAL

## Presión reducida al nivel del mar



Durante el mes de noviembre, el Anticiclón del Pacífico Sur (APS) mostró un predominio persistente e intensificado, con valores de presión que oscilaron mayormente entre 1023 y 1028 hPa, registrándose más intenso durante la primera y segunda decadiaria, e incluso episodios puntuales cercanos a 1029–1030 hPa. En cuanto a las Altas Migratorias (AM), durante noviembre se observó una mayor frecuencia e intensidad en comparación con otros meses, con al menos cuatro eventos claramente definidos, consistentes con la ocurrencia de cuatro friajes registrados en la selva peruana. Estas AM presentaron valores que alcanzaron y superaron 1020–1023 hPa, principalmente durante la primera y segunda decadiaria, evidenciando desplazamientos meridionales más efectivos desde latitudes medias hacia el interior del continente. La recurrencia de estos pulsos favoreció descensos térmicos significativos y el avance de aire frío hasta la Amazonía. Respecto al Anticiclón del Atlántico Sur (AAS), este mostró un comportamiento moderado, con una intensificación más notoria hacia la segunda mitad del mes, alcanzando valores cercanos a 1022–1023 hPa, aunque sin presentar una persistencia prolongada. Durante la primera decadiaria, el AAS se mantuvo relativamente más débil, con presiones inferiores a 1020 hPa, incrementándose gradualmente hacia la tercera decadiaria.

**Director de Meteorología y Evaluación**

**Ambiental Atmosférica**

Julio Ernesto Urbiola del Carpio

[jurbiola@senamhi.gob.pe](mailto:jurbiola@senamhi.gob.pe)

**Subdirector de Predicción Meteorológica**

Piero Rivas Quispe

[privas@senamhi.gob.pe](mailto:privas@senamhi.gob.pe)

**Elaboración y redacción:**

Janet Huaman Vargas

[jhuamanv@senamhi.gob.pe](mailto:jhuamanv@senamhi.gob.pe)

Para mayor información sobre los avisos meteorológicos, visite este link :

<http://www.senamhi.gob.pe/avisos>

Próxima publicación: ENERO 2025



**Servicio Nacional de  
Meteorología e Hidrología del  
Perú - SENAMHI**

Jr. Cahuide 785, Jesús María  
Lima - Perú



**Central telefónica: 614-1414**

**Unidad Funcional de Atención al  
Ciudadano:**

470-2867

**Pronóstico:** 614-1407 o 265-8798  
(Atención las 24 horas vía WhatsApp)

**Consultas y sugerencias:**

[pronosticador@senamhi.gob.pe](mailto:pronosticador@senamhi.gob.pe)